



Национальный
исследовательский

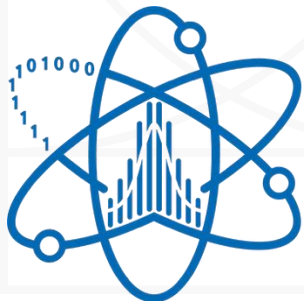
**Томский
государственный
университет**



GEANT4
A SIMULATION TOOLKIT

Е.В. Черняев

**Генерация случайных точек равномерно
распределенных на криволинейных поверхностях.
Примеры использования в Geant4.**



**Лаборатория
анализа данных
физики высоких энергий**

Томского
государственного
университета

Содержание

- Введение: где используется генерация случайных точек на поверхности
- Генераторы псевдо-случайных чисел
 - Семейство генераторов Xorshift
- Специализированные алгоритмы
 - Генерация случайных точек на поверхности плоских фигур
 - Генерация случайных точек на поверхности основных 3-х мерных поверхностей
- Генерация случайных точек на криволинейных поверхностях методом «методом отбрасывания»
 - Примеры для эллипса, параболоида, гиперболоид и параболического гиперболоида
- Использование генерации случайных точек на поверхностях в Geant4

Использование генерации случайных точек на поверхности

Генерация случайных точек на криволинейных поверхностях находит применение в ряде научных, инженерных и прикладных задач:

1. Компьютерная графика и визуализация

- **Рендеринг и освещение:** для глобального освещения, рассеянного отражения и трассировки лучей.
- **Текстурирование:** размещение деталей (например, капель воды, пятен грязи) на 3D-объектах.

2. Моделирование и симуляции

- **Физические симуляции:** моделирование осаждения частиц, капель, пыли на поверхности.
- **Аэродинамика/гидродинамика:** создание сеток или контрольных точек на поверхности тела в потоке.

3. Компьютерное зрение и робототехника

- **Задачи распознавания и реконструкции:** сэмплинг точек на реконструированных поверхностях для сравнения, регистрации и анализа формы.
- **Планирование движений:** оценка поверхностей препятствий и объектов для планирования траекторий.

4. 3D-печать

- **Контроль качества:** случайное выборочное сканирование точек на поверхности напечатанного объекта.

5. Машинное обучение и анализ данных

- **Генерация обучающих данных:** случайные точки на поверхностях объектов для обучения нейросетей

6. Геоинформатика и моделирование природных объектов

Генераторы псевдослучайных чисел

Почему псевдо?

- Для того, чтобы сгенерировать координаты случайной точки, нам нужно иметь генератор случайных чисел.
- Такие генераторы случайных чисел чаще называют **генераторами псевдослучайных чисел** (PRNG – pseudorandom number generators). Причины:
 - Генератор — это **детерминированный алгоритм**, который по заданному начальному состоянию (seed) производит последовательность чисел.
 - Если использовать один и тот же seed, получится **одинаковая последовательность** (повторяемость важна для отладки и воспроизводимости экспериментов).
- Разработано множество алгоритмов генерации псевдослучайных чисел. Зачастую такие алгоритмы используют очень специальный математический аппарат. Например, основной генератор MIXMAX используемый в Geant4 (период 10^{4389}) содержит следующее описание:

*The **MIXMAX generator** is a family of pseudorandom number generators (PRNG) and is based on Anosov C-systems (Anosov diffeomorphism) and Kolmogorov K-systems (Kolmogorov automorphism).*

Генератор псевдослучайных чисел Xorshift

- **Xorshift** — это семейство генераторов псевдослучайных чисел, предложенное Джорджем Марсальей (George Marsaglia) в 2003 году. Это чрезвычайно быстрый генератор, он основан на очень простых операциях:

- **XOR** (побитовое исключающее ИЛИ, ^)
- **сдвиг** (влево/вправо)

A	B	A ^ B
0	0	0
0	1	1
1	0	1
1	1	0

- Код на языке C/C++ для 32 битного генератора:

```
uint32_t xorshift32()
{
    static uint32_t y = 2463534242;
    uint32_t x = y;
    x ^= x << 13;
    x ^= x >> 17;
    x ^= x << 5;
    return y = x;
}

double rand() // xorshift32()/2^32
{
    return xorshift32()/4294967296.;
}
```

- Период данного генератора равен $2^{32} - 1 = 4294967295$, т. е. генератор перебирает все 32-битные целые положительные числа без повторений.
- В дальнейшем мы будем считать, что у нас есть функция `rand()`, которая возвращает случайные числа равномерно распределенные от 0 до 1.

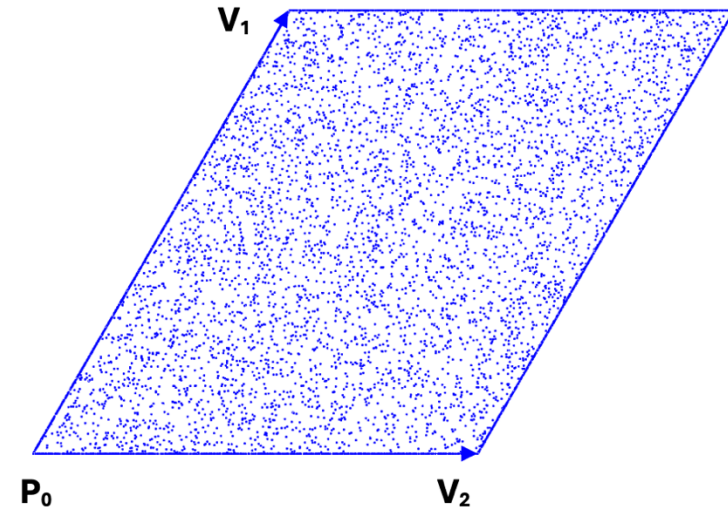
Генерация случайных точек на плоских фигурах

Параллелограмм

- Будем считать, что параллелограмм задан точкой P_0 и двумя векторами V_1 и V_2
- Алгоритм генерации случайной точки внутри параллелограмма очевиден

```
u = rand()
v = rand()
p = p0 + v1*u + v2*v
```

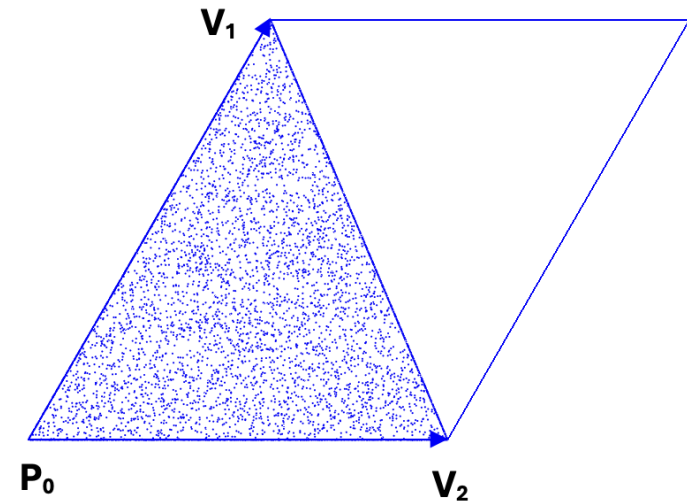
u, v – простые переменные,
 p, p_0, v_1, v_2 – объекты класса вектор



Треугольник

- Треугольник, как и параллелограмм, задается точкой P_0 и двумя векторами V_1 и V_2 ,
- Алгоритм генерации случайной точки внутри треугольника:

```
u = rand()
v = rand()
if (u + v > 1)
{
  u = 1 - u
  v = 1 - v
}
p = p0 + v1*u + v2*v
```



- Идея алгоритма проста. Если к треугольнику добавить другой, полученный отражением исходного треугольника относительно стороны противоположной точке p_0 , то у нас получится параллелограмм. Мы сначала генерируем случайную точку в параллелограмме, и если она оказалась во втором треугольнике ($u + v > 1$) отражаем ее в исходный треугольник ($u = 1 - u, v = 1 - v$)

Круг

- Параметрическое представление круга:

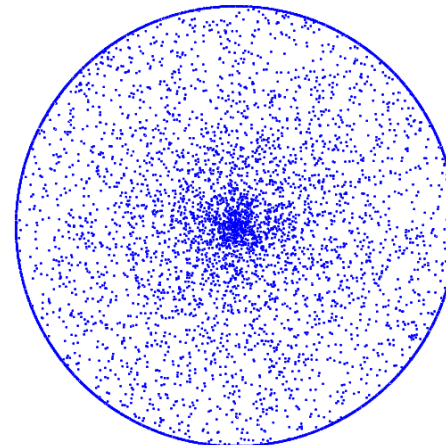
$$x = r \cos \varphi$$

$$y = r \sin \varphi$$

где $0 \leq r \leq R$, $0 \leq \varphi < 2\pi$

- Если мы будем генерировать случайные r и φ как в нижеследующем псевдокоде, то у нас явно получится неравномерное распределение точек внутри круга:

```
r = R*rand()
phi = 2*pi*rand()
x = r*cos(phi)
y = r*sin(phi)
```



Круг (продолжение)

- Попробуем догадаться, какие переменные нужно использовать, чтобы получилось равномерное распределение случайных точек.
- Будем понимать под **элементом фигуры** ее часть, которая меняется при изменении параметров, но при этом **продолжает оставаться внутри исходной фигуры**. При определенных значениях параметров элемент фигуры будет занимать всю ее площадь. Если точки распределены равномерно по площади фигуры, то их количество в элементе фигуры будет прямо пропорционально площади этого элемента.

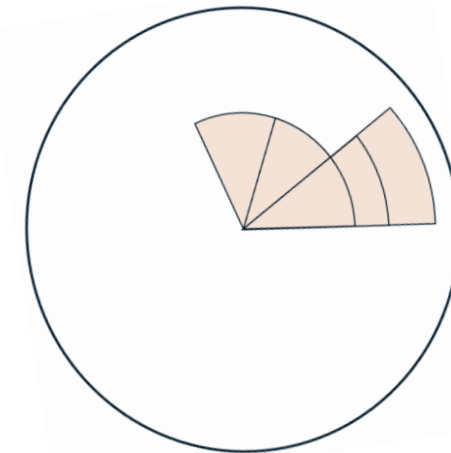
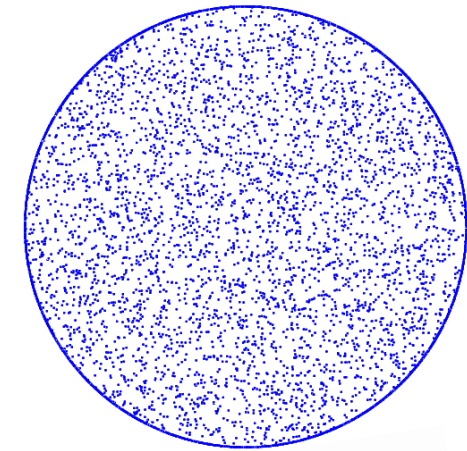
Если в формуле площади элемента фигуры выделить переменные от которых **площадь зависит линейно**, то станет ясно значения каких переменных надо будет генерировать.

- В случае круга его элементом является сектор. Формулу площади сектора:

$$S_{\text{sector}} = (\varphi) (r^2),$$

$$\text{где } 0 \leq r^2 \leq R^2, 0 \leq \varphi < 2\pi$$

При $\varphi = 2\pi$, $r = R$ сектор превращается в исходный круг.
Ясно, что вместо r нам надо разыгрывать значение r^2



- Алгоритм генерации точки:

```
r2 = R*R*rand()
phi = 2*pi*rand()
r = sqrt(r2)
x = r*cos(phi)
y = r*sin(phi)
```

Альтернативный алгоритм для треугольника

- Найдем формулу площади части треугольника, из которой станет ясно какие переменные надо использовать для генерирования равномерного распределения точек. Формула

$$S_{\Delta} = \frac{1}{2} ah, \text{ где } 0 \leq a \leq A - \text{длина основания, } 0 \leq h \leq H - \text{длина высоты}$$

в таком виде нам явно не подходит, т.к. если мы зафиксируем одну из переменных, вторая не сможет меняться в нужных нам пределах.

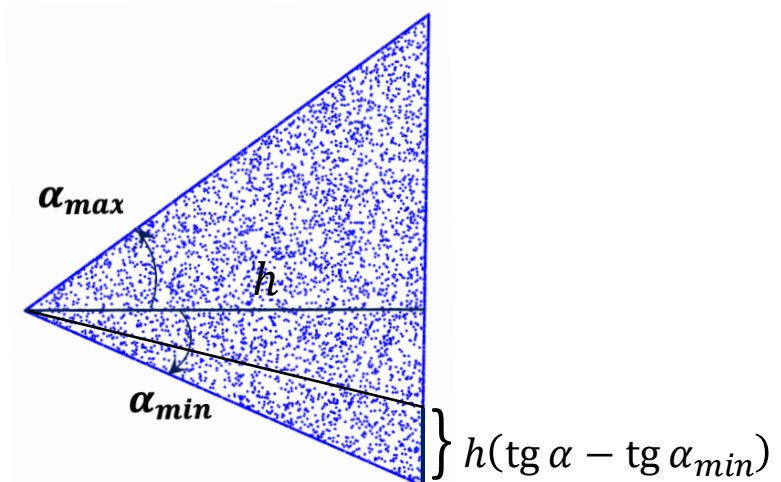
- Перепишем эту формулу в другом виде:

$$S_{\Delta} = \frac{1}{2} (h^2)(\operatorname{tg} \alpha - \operatorname{tg} \alpha_{\min}), \text{ где } \alpha_{\min} \leq \alpha \leq \alpha_{\max}, \text{ соответственно}$$

$$0 \leq h^2 \leq H^2, 0 \leq (\operatorname{tg} \alpha - \operatorname{tg} \alpha_{\min}) \leq (\operatorname{tg} \alpha_{\max} - \operatorname{tg} \alpha_{\min})$$

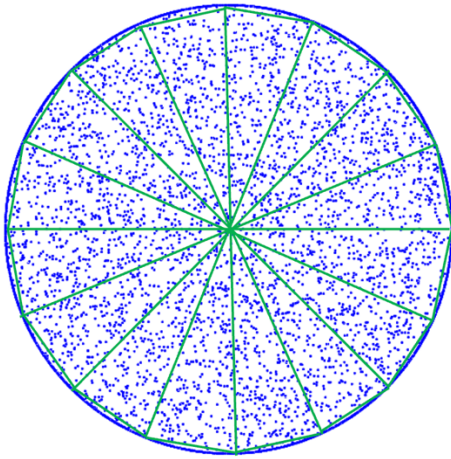
- Теперь понятно, что надо разыгрывать значения h^2 и $(\operatorname{tg} \alpha - \operatorname{tg} \alpha_{\min})$. Соответственно алгоритм для треугольника будет выглядеть следующим образом:

```
h2 = H*H*rand()
dy = (tan(amax)-tan(amin))*rand()
x = sqrt(h)
y = x*(tan(amin) + dy)
```



Альтернативные алгоритмы для круга

- Для генерации случайных точек внутри круга может быть использована генерация случайных точек внутри треугольника:

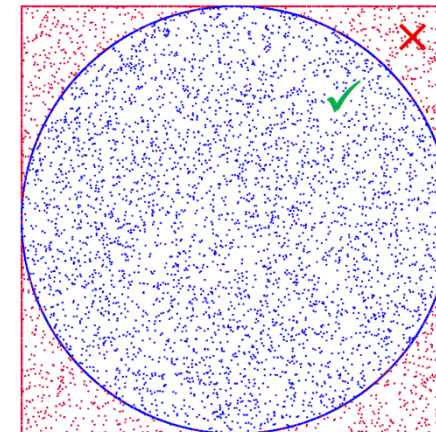


```
u = rand()
v = rand()
phi = 2*pi*rand()
if (u + v > 1)
{
    u = 1 - u
    v = 1 - v
}
r = R*(u + v)
x = r*cos(phi)
y = r*sin(phi)
```

- Мы также можем генерировать точки внутри окружающего круг квадрата, а затем проверять лежит ли точка внутри круга или нет:

```
do
{
    u = 2*rand() - 1
    v = 2*rand() - 1
} while (u*u + v*v > 1)
x = R*u
y = R*v
```

Это самый быстрый алгоритм для круга!



Эллипс

- Параметрическое представление эллипса:

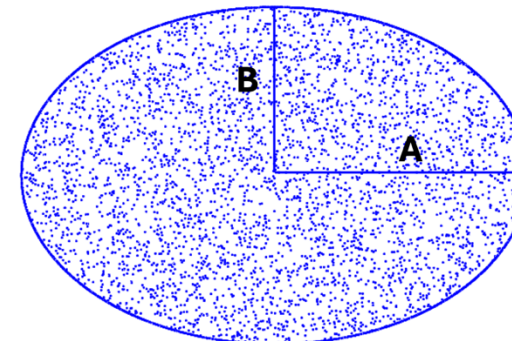
$$x = a \cos \varphi$$

$$y = b \sin \varphi$$

где $0 \leq a \leq A, 0 \leq b \leq B, 0 \leq \varphi < 2\pi$

- Чтобы сгенерировать случайную точку внутри эллипса, мы сначала с помощью любого алгоритма генерируем точку внутри единичного круга, а затем масштабируем полученные координаты в соответствии с размером полуосей эллипса (“растягиваем” круг):

```
do
{
  u = 2*rand() - 1
  v = 2*rand() - 1
} while (u*u + v*v > 1)
x = A*u
y = B*v
```



Равномерное растягивание/сжатие поверхности в любом направлении не нарушает равномерности распределения случайных точек.

Генерация случайных точек на криволинейных поверхностях

Цилиндр и Конус

- Генерация случайных точек на поверхности цилиндра и конуса достаточно проста, т.к. цилиндр можно развернуть в прямоугольник, а конус можно развернуть в сектор круга.

- Параметрическое представление поверхности цилиндра:

$$x = R \cos \varphi$$

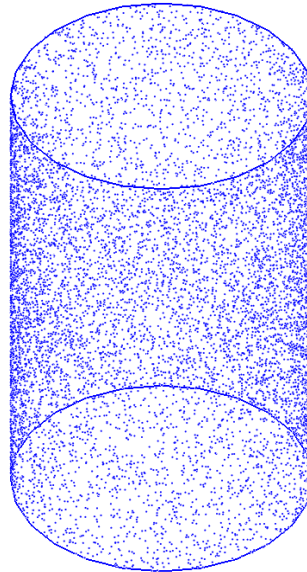
$$y = R \sin \varphi$$

$$z = h$$

$$\text{где } 0 \leq h \leq H, 0 \leq \varphi \leq 2\pi$$

- Алгоритм генерации случайной точки

```
h = H*rand()
phi = 2*pi*rand()
x = R*cos(phi)
y = R*sin(phi)
z = h
```



- Параметрическое представление поверхности конуса:

$$x = R \frac{h}{H} \cos \varphi$$

$$y = R \frac{h}{H} \sin \varphi$$

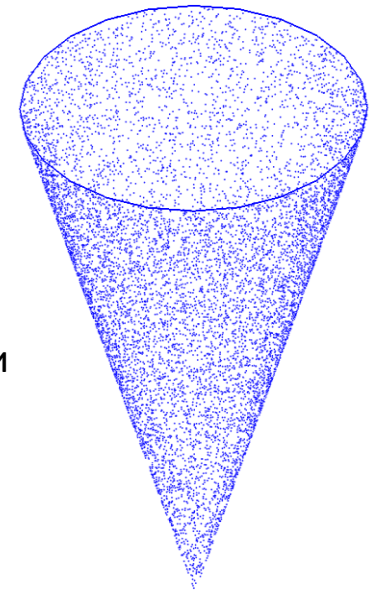
$$z = h$$

$$\text{где } 0 \leq h \leq H, 0 \leq \varphi \leq 2\pi,$$

$$R - \text{радиус при } z = H$$

- Алгоритм генерации случайной точки

```
h2 = H*H*rand()
phi = 2*pi*rand()
h = sqrt(h2)
rho = R*h/H
x = rho*cos(phi)
y = rho*sin(phi)
z = h
```



Сфера

- Стандартное параметрическое представление сферы:

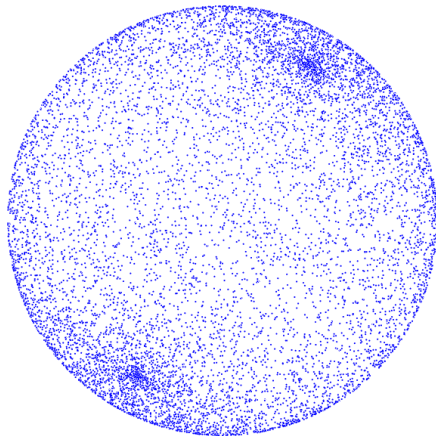
$$x = R \sin \theta \cos \varphi$$

$$y = R \sin \theta \sin \varphi$$

$$z = R \cos \theta$$

где $0 \leq \theta \leq \pi$, $0 \leq \varphi < 2\pi$

- Если генерировать случайные точки разыгрывая θ и φ , то распределение точек будет неравномерным:



- Чтобы найти альтернативное представление вспомним как вычисляется площадь сферического слоя (spherical cap):

$$S_{cap} = 2\pi R h = R(2\pi)(h)$$

- Это соответствует следующему параметрическому представлению:

$$x = R\sqrt{1 - u^2} \cos \varphi$$

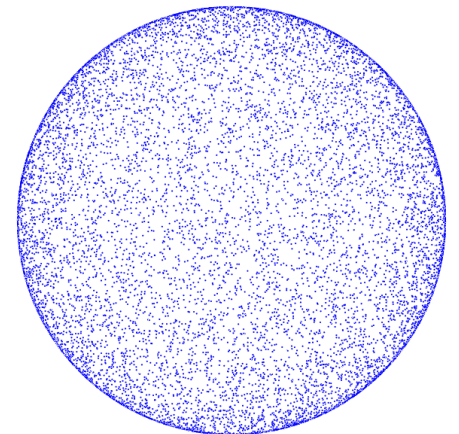
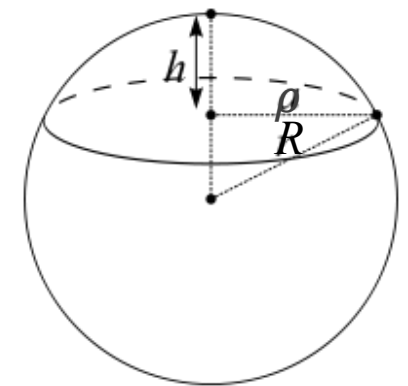
$$y = R\sqrt{1 - u^2} \sin \varphi$$

$$z = R u$$

где $-1 \leq u \leq 1$, $0 \leq \varphi < 2\pi$

- Алгоритм для генерирования точки:

```
u = 2*rand() - 1
phi = 2*pi*rand()
rho = sqrt(1 - u*u)
x = R*rho*cos(phi)
y = R*rho*sin(phi)
z = R*u
```





Rejection sampling Выборка с отбрасыванием

Генерация случайных точек «методом отбрасывания»

Выборка с отбрасывание (rejection sampling) - это общий метод позволяющий генерировать случайные точек равномерно распределенные по поверхности заданной в параметрическом виде:

$$\mathbf{r}(u, v) = \begin{pmatrix} x(u, v) \\ y(u, v) \\ z(u, v) \end{pmatrix}$$

где $(u, v) \in D$, в нашем случае $u_{min} \leq u \leq u_{max}$, $v_{min} \leq v \leq v_{max}$

Площадь поверхности для такой поверхности вычисляется интегрированием элемента поверхности $dS(u, v)$ по области D :

$$S = \iint_D dS(u, v) du dv$$

Элемент поверхности вычисляется как модуль векторного произведения частных производных:

$$dS(u, v) = \left\| \frac{\partial \mathbf{r}}{\partial u} \times \frac{\partial \mathbf{r}}{\partial v} \right\|$$

Алгоритм генерации случайной точки выглядит следующим образом:

0. Находим максимальное значение dS_{max} в области D
1. Разыгрываем случайные параметры (u, v)
2. Вычисляем $dS(u, v)$
3. Генерируем случайное число $0 \leq \xi \leq dS_{max}$
4. Если $\xi \leq dS(u, v)$, то принимаем точку $\mathbf{r}(u, v)$, иначе повторяем шаги 1 – 4

Этот метод называется **методом отбрасывания** (rejection sampling) и обеспечивает равномерное покрытие поверхности по площади

Эллипсоид

- Параметрическое представление эллипсоида:

$$x = a\sqrt{1-u^2}\cos v$$

$$y = b\sqrt{1-u^2}\sin v$$

$$z = c u$$

где a, b, c – полуоси эллипсоида, $-1 \leq u \leq 1$, $0 \leq v < 2\pi$

- Векторное произведение частных производных (нормаль) в точке с параметрами (u, v) находится также как детерминант следующей матрицы:

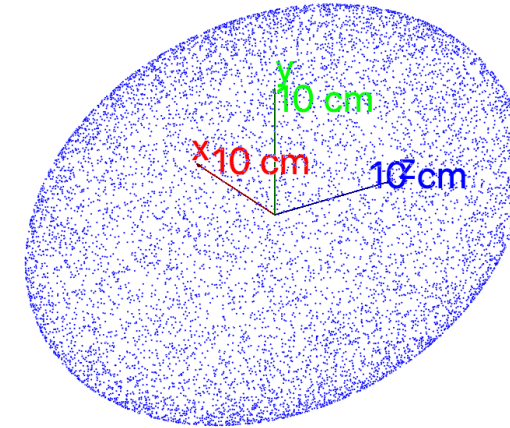
$$\mathbf{n}(u, v) = \frac{\partial \mathbf{r}}{\partial u} \times \frac{\partial \mathbf{r}}{\partial v} = \begin{vmatrix} \mathbf{i} & \mathbf{j} & \mathbf{k} \\ -\frac{au \cos v}{\sqrt{1-u^2}} & -\frac{bu \sin v}{\sqrt{1-u^2}} & c \\ -a\sqrt{1-u^2}\sin v & b\sqrt{1-u^2}\cos v & 0 \end{vmatrix}$$
$$\mathbf{n}(u, v) = -(\mathbf{i} bc \sqrt{1-u^2} \cos v + \mathbf{j} ac \sqrt{1-u^2} \sin v + \mathbf{k} abu)$$

- Элемент поверхности равен длине нормали:

$$dS(u, v) = \sqrt{b^2c^2(1-u^2)\cos^2 v + a^2c^2(1-u^2)\sin^2 v + a^2b^2u^2}$$

- Максимальное значение элемента поверхности:

$$dS_{max} = \max(ab, bc, ac)$$



- Алгоритм генерации точки:

```
// generate point (xs,ys,zs) on unit sphere and
// check its acceptance
ds_max = max(a*b, b*c, a*c)
aa = a*a
bb = b*b
cc = c*c
do {
  u = 2*rand() - 1
  v = 2*pi*rand()
  rho = sqrt(1 - u*u)
  xs = rho*cos(v)
  ys = rho*sin(v)
  zs = u
  ds = sqrt(bb*cc*xs*xs + aa*cc*ys*ys + aa*bb*zs*zs)
} while (ds_max*rand() > ds)
x = a*xs
y = b*ys
z = c*zs
```

Тор (тороид)

- Параметрическое представление тора:

$$x = (R + a \cos v) \cos u$$

$$y = (R + a \cos v) \sin u$$

$$z = a \sin v$$

где R – радиус тора, a – радиус образующей окружности,

$$0 \leq u \leq 2\pi, 0 \leq v < 2\pi$$

- Элемент поверхности:

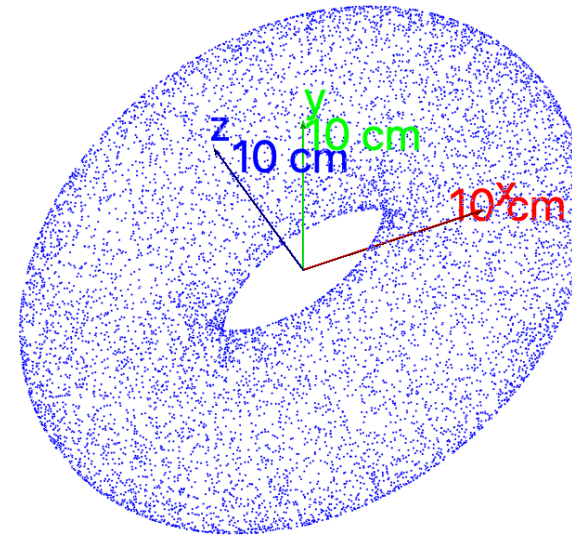
$$\mathbf{n}(u, v) = \frac{\partial \mathbf{r}}{\partial u} \times \frac{\partial \mathbf{r}}{\partial v} = \begin{vmatrix} \mathbf{i} & \mathbf{j} & \mathbf{k} \\ -(R + a \cos v) \sin u & (R + a \cos v) \cos u & 0 \\ -a \sin v \cos u & -a \sin v \sin u & a \cos v \end{vmatrix}$$

$$dS(u, v) = a(R + a \cos v)$$

$$dS_{max} = a(R + a)$$

- Алгоритм генерации точки

```
ds_max = R + a
do {
  v = 2*pi*rand()
  ds = R + a*cos(v)
} while (ds_max*rand() > ds)
u = 2*pi*rand()
x = ds*cos(u)
y = ds*sin(u)
z = a*sin(v)
```



Параболоид

- Параметрическое представление параболоида:

$$x = R\sqrt{u} \cos v$$

$$y = R\sqrt{u} \sin v$$

$$z = h u$$

где h – высота, R – радиус при $z = h$, $0 \leq u \leq 1$, $0 \leq v < 2\pi$

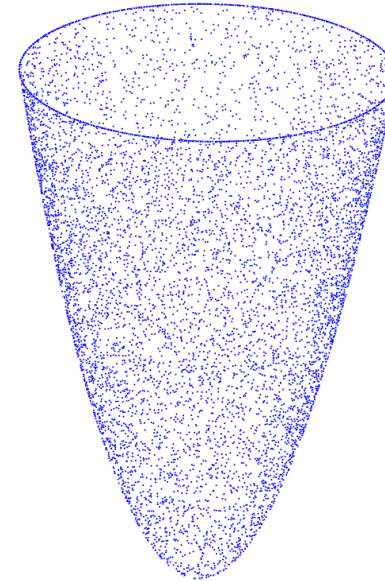
- Элемент поверхности:

$$\mathbf{n}(u, v) = \frac{\partial \mathbf{r}}{\partial u} \times \frac{\partial \mathbf{r}}{\partial v} = \begin{vmatrix} \mathbf{i} & \mathbf{j} & \mathbf{k} \\ \frac{R}{2\sqrt{u}} \cos v & \frac{R}{2\sqrt{u}} \sin v & h \\ -R\sqrt{u} \sin v & R\sqrt{u} \cos v & 0 \end{vmatrix}$$

$$dS = R \sqrt{h^2 u + \frac{R^2}{4}} \quad dS_{max} = R \sqrt{h^2 + \frac{R^2}{4}}$$

- Алгоритм генерации точки

```
ds_max = sqrt(h*h + R*R/4)
do {
  u = rand()
  ds = sqrt(h*h*u + R*R/4)
} while (ds_max*rand() > ds)
v = 2*pi*rand()
x = R*sqrt(u)*cos(v)
y = R*sqrt(u)*sin(v)
z = h*u
```



Однополостный гиперболоид

- Параметрическое представление параболоида:

$$x = \sqrt{a^2 + (R^2 - a^2)u^2} \cos v$$

$$y = \sqrt{a^2 + (R^2 - a^2)u^2} \sin v$$

$$z = hu$$

где h – полувысота, R – радиус при $z = h$, a – радиус при $z = 0$,
 $-1 \leq u \leq 1$, $0 \leq v < 2\pi$

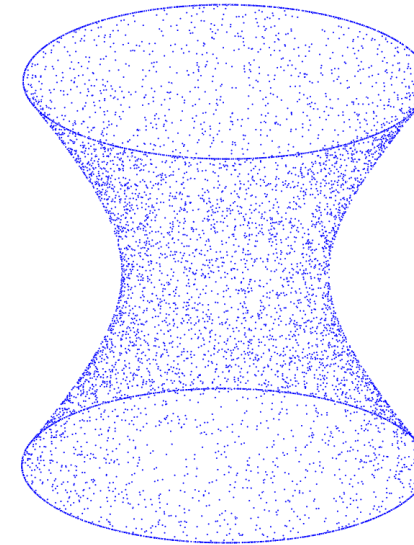
- Элемент поверхности:

$$dS(u, v) = \sqrt{a^2 h^2 + (R^2 - a^2)(R^2 - a^2 + h^2)u^2}$$

$$dS_{max} = \sqrt{a^2 h^2 + (R^2 - a^2)(R^2 - a^2 + h^2)}$$

- Алгоритм генерации точки

```
aahh = a*a*h*h
RRaa = R*R - a*a
RRaahh = RRaa*(RRaa + h*h)
ds_max = sqrt(aahh + RRaahh)
do {
  u = 2*rand() - 1
  ds = sqrt(aahh + RRaahh*u*u)
} while (ds_max*rand() > ds)
v = 2*pi*rand()
rho = sqrt(a*a + RRaa*u*u)
x = rho*cos(v)
y = rho*sin(v)
z = h*u
```



Использование генерации случайных точек на поверхностях в Geant4

Что такое Geant4

Geant4 (Geometry and Tracking) — это программный инструментарий (фреймворк), предназначенный для моделирования прохождения частиц через вещество.

Geant4 поддерживается и развивается международной коллаборацией, в которую в настоящее время входят 156 человек имеющих статус член коллаборации и 35 контрибьюторов из различных научных организаций и компаний со всего мира. В том числе 9 человек из 5 институтов Российской Федерации.



Geant4 широко применяется в физике высоких энергий, ядерной физике, космических исследованиях, медицинской физике и инженерных задачах.

Geant4 Physics & Applications

A Monte Carlo toolkit for passage of particles through matter

Geant4 Hadronic Physics
Hadronic interactions involve three main regimes: high energy, with string models (Quark Gluon String (QGS), Fritiof (FRITIOF)), intermediate energy, with intra-nuclear cascade models (Bertini (BERT), Binary (BIC)), and low energy, with precompound, Fermi, break-up, fission/evaporation, capture at rest models and radioactive decays. From 20 MeV down to thermal energy neutrons are handled by means of cross-section databases, with the High Precision (HP) package.

HEP Applications
High Energy Physics has been the first domain to use Geant4 in production, with the BaBar experiment. LHC experiments have been using Geant4 in detector design and are using it in physics analysis. Geant4 is also the simulation engine choice of the next generation of electron machines.

Space Applications
Applications of Geant4 in space cover planetary scale simulation for soil level media activation studies, soil composition through X-Ray re-emission, space ship simulation for radioprotection and electronic single event upset predictions, electronic chip scale simulation for accurate understanding of single event upset generation. It includes also underground, ground level or satellite cosmic ray experiments simulation.

Geant4 Electromagnetic Physics
The electromagnetic physics covers interactions of gammas, muons and electrons, and ionisation of all charged particles. A package offers an implementation suited for applications disregarding effects below a few ~10 keV, and a one provides approaches (Livermore, Penelope) for more accurate modelling of atomic shell effects allowing simulation down to ~250 eV. A very low extension, Geant4-DNA, includes particle-molecule effects for an energy limit of ~10 eV. The same approach is developed for silicon.

Medical Applications
Medical Applications interest in Monte Carlo is the accuracy capability in complex structures. Geant4 is used for radio-protector & radio-therapy medical research fields. It is used also in optimization of brachytherapy devices, radioprotection and nuclear imaging. Large users communities exist in US, Europe and Japan. CPU performance boost allowed by Geant4 MT or by GPU prototype versions open the possibility for routine usage in treatment planning.

DNA Scale Level Simulation
Project initiated by the ESA, in view of manned mission to Mars: it is a bottom-up approach of dosimetry. Physics processes are extended down to a few eV, based on particle-molecule cross-sections. The approach is applied also to silicon, for accurate simulation of Single Upset Events.

Very Low Energy
Atomic and molecular structures dominating.

Proton neutron
Carbon Ion
Water Molecule Size
Electron
Gamma

Lawrence Livermore National Laboratory, CERN, SLAC, TRIUMF, Northern University, GENBG, Fermilab, ANR, INFN, CEA, IPN, CERN, IPN, UNIVERSITE PARIS SUD, AQUITAINE, IAPP, LIR, ECOLE POLYTECHNIQUE, KISTI, Science & Technology Facilities Council, U.S. DEPARTMENT OF ENERGY, Geant4 ASSOCIATION.

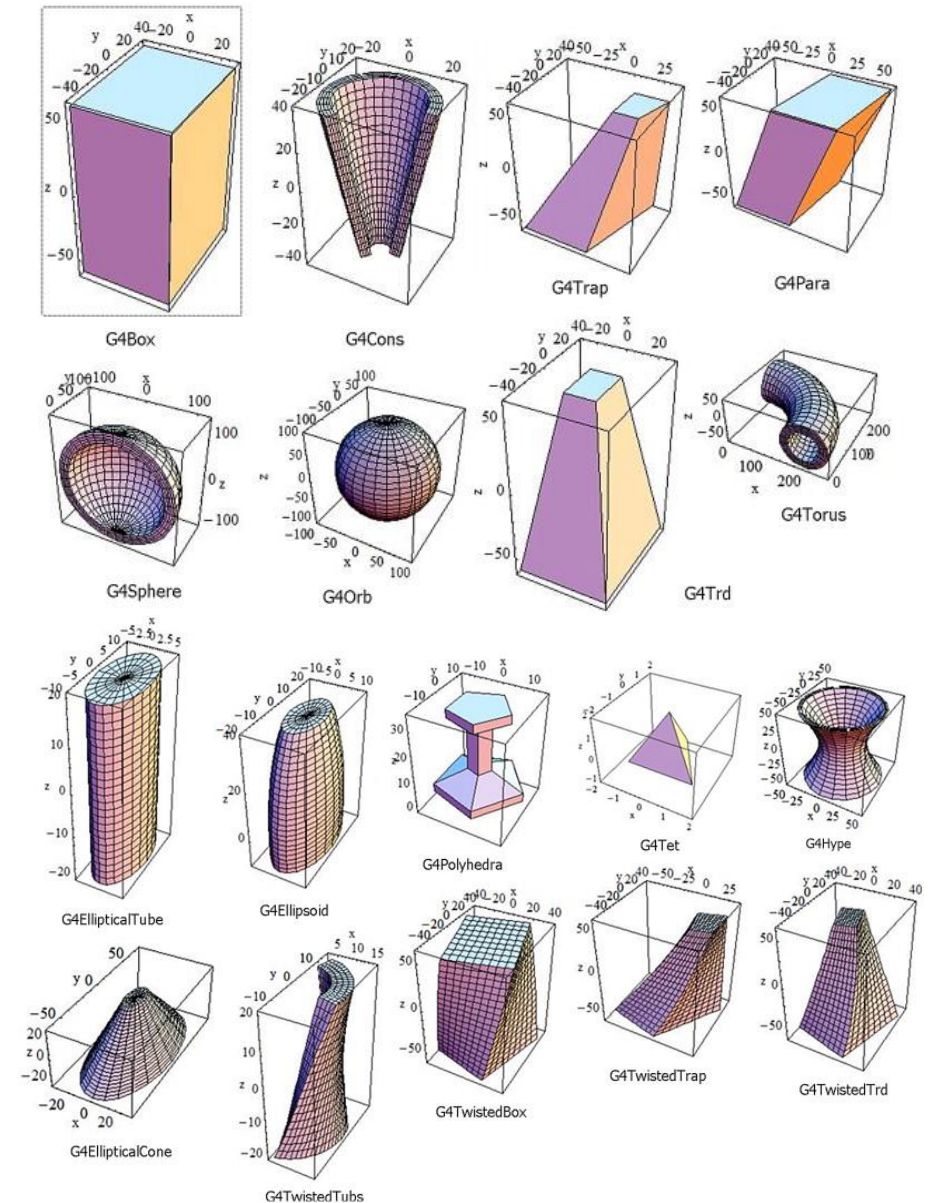
Геометрический пакет Geant4

Geant4 имеет развитый геометрический пакет. Есть богатый набор геометрических **примитивов**, из которых с помощью булевых операций (объединение, вычитание, пересечение) можно создавать более сложные формы. Таким образом, в Geant4 можно построить практически любую геометрию, комбинируя стандартные примитивы и булевы операции.

Каждый геометрический объект (**solid**) в Geant4 имеет набор обязательных функций для работы с ним, таких как, определение положения точки относительно данного объекта, определение примерного расстояния до границ объекта, определение точного расстояния до поверхности объекта вдоль заданного направления, вычисление объема и площади поверхности, и т.д.

Среди обязательных функций есть функция позволяющая генерировать случайные точки равномерно распределенные по поверхности объекта.

Далее мы рассмотрим как эта возможность используется в Geant4



GPS – General Particle Source

- В Geant4 под GPS понимается универсальный генератор частиц. Это продвинутый класс для задания начальных условий источника частиц. С его помощью можно настраивать:
 - Тип частицы (электрон, фотон, протон и т. д.).
 - Энергию (фиксированное значение, распределение, спектр).
 - Геометрию источника (точечный, сферический, цилиндрический, плоский диск, и т. д.).
 - Направление (изотропное распределение, в конусе, вдоль оси и др.).
 - Временные характеристики (например, импульсный источник).
- Источник частиц может плоским (квадрат, прямоугольник, круг, кольцо, эллипс) или объемным (сфера, эллипсоид, цилиндр, параллелепипед). В случае объемного источника частицы могут генерироваться как внутри источника, так и на его поверхности.

Оценка площади поверхности булевых тел

С помощью генерации случайных точек равномерно распределенных по поверхности можно оценить площадь поверхности составного тела, полученного в результате применения булевой операции (объединения, вычитания или пересечения) к исходным телам.

Для этого нужно сгенерировать $N = N_1 + N_2$ точек, где N_1 — это количество точек на первом теле, а N_2 — количество точек на втором теле. Количество точек на каждом из тел должно быть пропорционально площади поверхности этих тел:

$$\frac{N_1}{N_2} = \frac{S_1}{S_2}$$

Площадь поверхности результирующего тела S будет равна произведению суммы площадей исходных тел на отношение количества точек, оказавшихся на поверхности результирующего тела, к общему количеству сгенерированных точек:

$$S_{result} = \frac{N_{surf}}{N_1 + N_2} (S_1 + S_2)$$

Относительная погрешность зависит от общего количества точек: $\delta X \approx \frac{1}{\sqrt{N}}$

Пример оценки площади поверхности составного тела

Для примера оценим площадь поверхности тела сконструированного путем объединение двух сфер и сравним полученный результат с площадью этого тела вычисленной аналитически.

Для простоты вычислений пусть обе сферы имеют одинаковый радиус $R = 10$ см и пусть расстояние между центрами сфер равно R . В таком случае площадь объединённой фигуры будет равна:

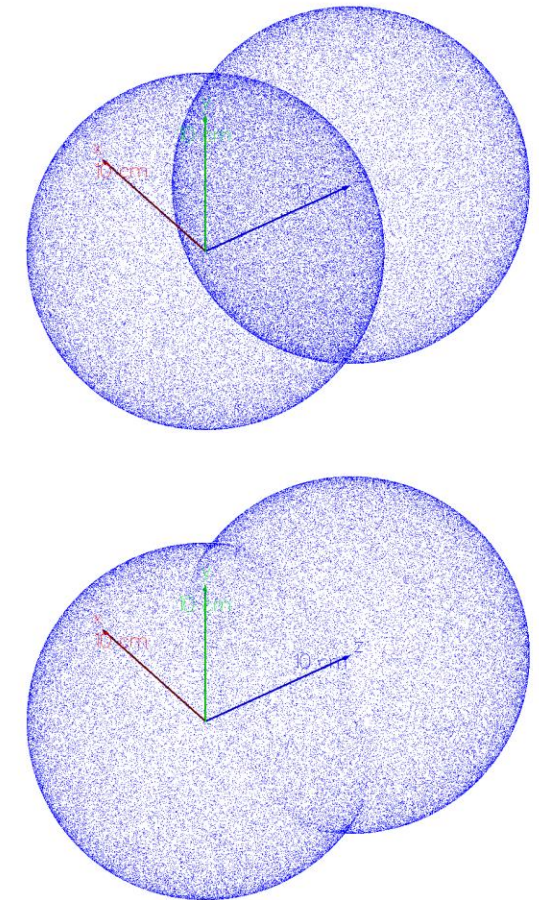
$$S = 6\pi R^2 = 1884.96 \text{ см}^2$$

При генерации 10 тыс. точек, по 5 тыс. на каждой из сфер, у меня получилось:

$$S_{10\text{к}} = 1865.35 \pm 19 \text{ см}^2$$

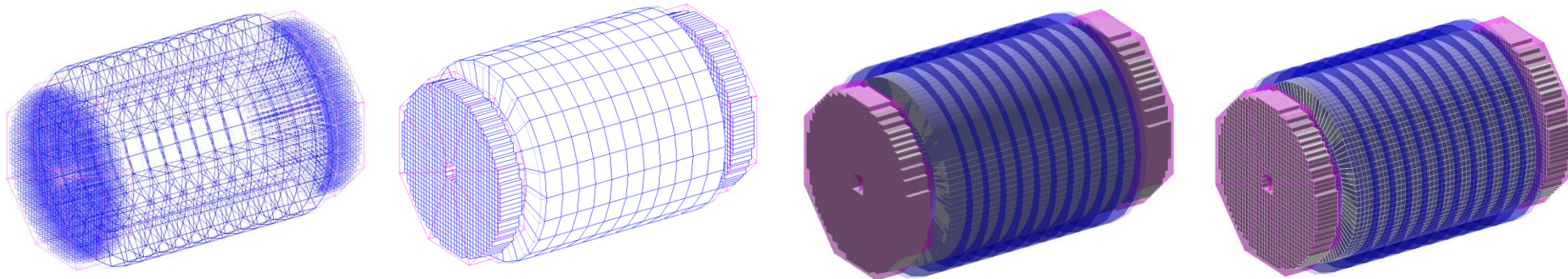
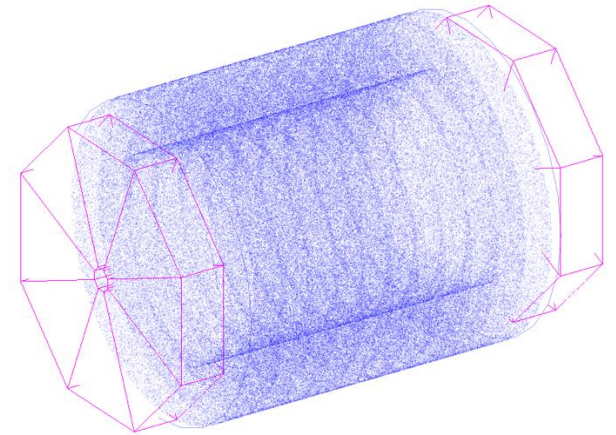
При генерации 100 тыс. точек:

$$S_{100\text{к}} = 1885.28 \pm 6 \text{ см}^2$$



Визуализация тел в виде облака точек

- Geant4 предоставляет несколько возможностей для визуализации трехмерных тел. Любое тело может быть нарисовано:
 - В виде проволочного объекта без удаления невидимых линий;
 - Тоже самое с удалением невидимых линий;
 - С визуализацией поверхностей тела с учетом освещения (shading);
 - Тоже самое с наложением результата удаления невидимых линий (отрисовка ребер);
 - В виде облака точек случайный образом распределенным по поверхности тела;



- Изначально последняя опция была реализована только для отладки алгоритма генерации случайных точек на поверхности тел, но потом ее добавили в список стандартных возможностей.
- Визуализация составных (булевых) тел в виде облака точек происходит автоматически если есть возникают проблемы с генерацией полигонального представления этих тел.

Нахождение перекрытий в Geant4

Одним из важных применений генерации случайных точек на поверхности тел в Geant4 является нахождение перекрытий объектов в геометрическом описании моделируемой установки.

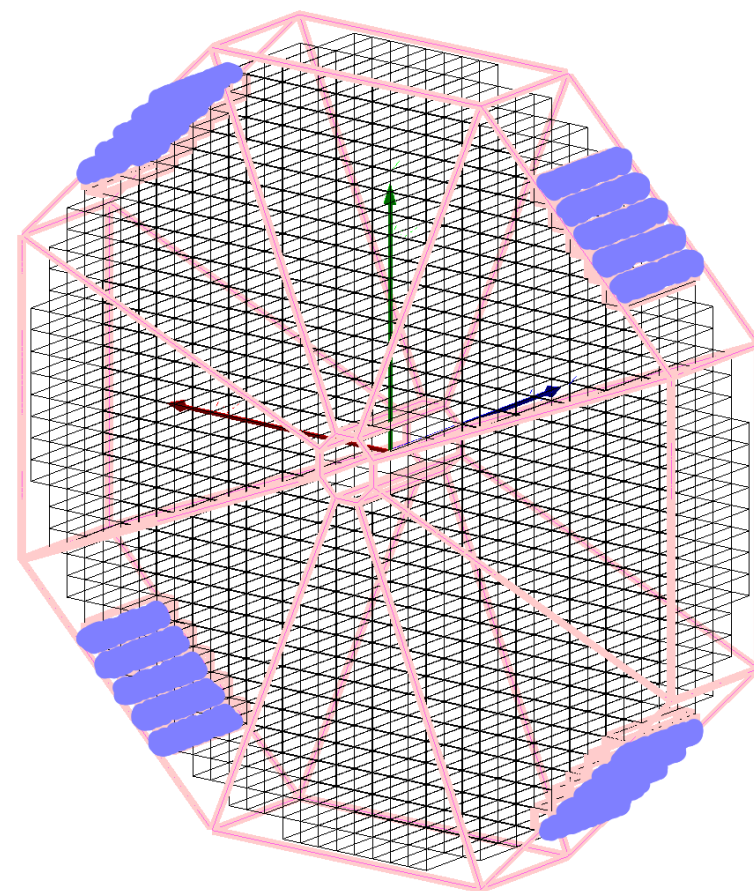
Перекрытия – это дефект в геометрии, они могут приводить к неправильному результату моделирования, а также создавать проблемы при построении трэков.

Идея алгоритма нахождения перекрытий достаточно проста. Чтобы проверить пересекаются два тела или нет, мы сначала генерируем набор точек на поверхности одного тела и проверяем не попадают какие либо из этих точек внутрь другого тела. Затем меняем тела местами, т. е. генерируем точки на поверхности второго тела и проверяем не оказались ли какие либо точки внутри первого тела.

Поскольку в Geant4 используется иерархическое описание геометрии, т.е. тела помещаются внутрь родительского объема, то существует два типа перекрытий:

- Тело пересекается с другим телом внутри родительского объема;
- Тело выходит за пределы своего родительского объема;

На рисунке мы как раз видим второй случай.



ECal endcap, NICA/SPD

Резюме

Основные моменты данного семинара:

- ❑ Мы познакомились с простым и очень быстрым генератором случайных чисел Xorshift
- ❑ Были объяснены специализированные алгоритмы генерации случайных точек:
 - ❑ для плоских фигур: параллелограмма, треугольника, круга, эллипса
 - ❑ для основных криволинейных поверхностей: цилиндра, конуса, сферы
- ❑ Был подробно разобран алгоритм генерации равномерно распределенных случайных точек «методом отбрасывания» на примере эллипса, параболоида, гиперболоида и тора.
- ❑ Было рассказано как генерация случайных точек на поверхностях используется в Geant4: General Particle Source, оценка площади поверхности булевых тел, визуализация, обнаружение перекрытий.
- * В приложении даны формулы вычисления площадей поверхностей второго порядка и связанных с ними объемов.

Приложение.
Формулы для поверхностей второго
порядка.

Эллипсоид

- Уравнение в декартовых координатах:

$$\frac{x^2}{a^2} + \frac{y^2}{b^2} + \frac{z^2}{c^2} = 1, \text{ где } a, b, c \text{ – полуоси, } a \geq b \geq c$$

- Объем:

$$V = \frac{4}{3} \pi abc$$

- Площадь поверхности:

$$S = 2\pi c^2 + \frac{2\pi ab}{\sin \phi} [F(\phi, k) \cos^2 \phi + E(\phi, k) \sin^2 \phi]$$

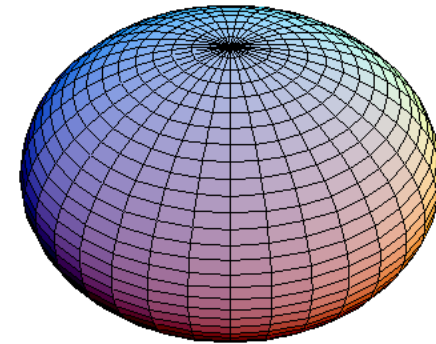
где

$F(\phi, k)$ – неполный эллиптический интеграл первого рода

$E(\phi, k)$ – неполный эллиптический интеграл второго рода

$$\phi = \arccos \frac{c}{a}$$

$$k = \sqrt{\frac{a^2(b^2 - c^2)}{b^2(a^2 - c^2)}}$$



Параболоид

- Уравнение в декартовых координатах:

$$z = \frac{h}{a^2} (x^2 + y^2)$$

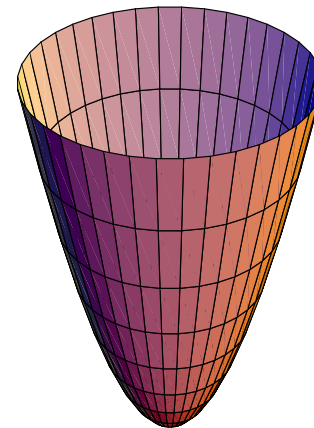
где a – радиус сечения при $z = h$

- Объем ограниченный плоскостью $z = h$:

$$V = \frac{1}{2} \pi a^2 h$$

- Площадь поверхности:

$$S = \frac{\pi a}{6h^2} [(a^2 + 4h^2)^{3/2} - a^3]$$



Однополостный гиперболоид

- Уравнение в декартовых координатах:

$$\frac{x^2}{a^2} + \frac{y^2}{a^2} - \frac{z^2}{c^2} = 1$$

- Объем между $-\frac{h}{2} \leq z \leq +\frac{h}{2}$:

$$V = \frac{1}{3} \pi h (2a^2 + R^2)$$

- Площадь поверхности:

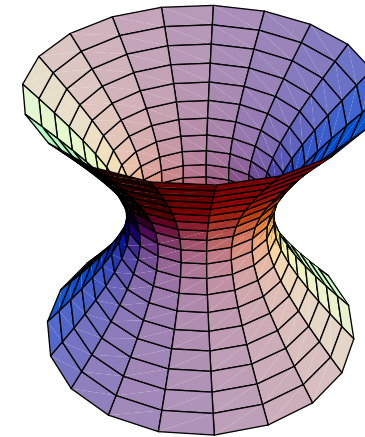
$$S = 2\pi a \left[\frac{h\sqrt{[4c^4 + (a^2 + c^2)h^2]}}{4c^2} + \frac{c^2 \operatorname{arsh} \left(\frac{h\sqrt{a^2 + c^2}}{2c^2} \right)}{\sqrt{a^2 + c^2}} \right]$$

где

a – радиус сечения при $z = 0$

h – полная высота

R – радиус сечений при $z = \pm \frac{h}{2}$



Двуполостный гиперболоид

- Уравнение в декартовых координатах:

$$\frac{z^2}{a^2} - \frac{r^2}{b^2} = 1$$

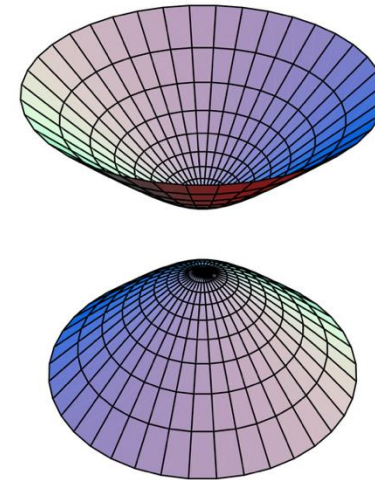
где a – половина расстояния между полостями, $r^2 = x^2 + y^2$

- Пусть h – высота полости, R – радиус сечения при $z = a + h$, тогда объем полости между $a \leq z \leq a + h$ будет равен:

$$V = \frac{\pi h^2 b^2}{a^2} \left(a + \frac{h}{3} \right) = \frac{\pi R^2 h}{3} \left(1 + \frac{a}{2a + h} \right)$$

- Площадь поверхности полости:

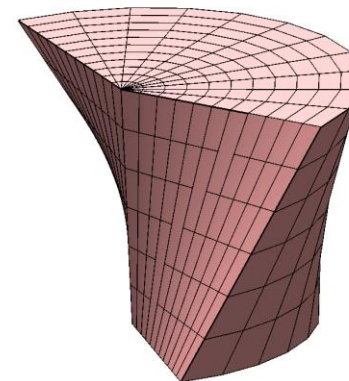
$$S = \frac{\pi b}{a^2} (a + h) \sqrt{(a + h)^2 (a^2 + b^2) - a^4} - \pi b^2 - \frac{\pi b a^2}{\sqrt{a^2 + b^2}} \ln \left(\frac{(a + h) \sqrt{a^2 + b^2} + \sqrt{(a + h)^2 (a^2 + b^2) - a^4}}{a \sqrt{a^2 + b^2} + ab} \right)$$



Скрученный сектор цилиндра. Гиперболический параболоид

- Скрученный сектор получается путем поворота оснований сектора цилиндра относительно друг друга. При этом внешняя цилиндрическая поверхность приобретает форму гиперболоида, а боковые грани приобретают форму гиперболического параболоида.
- На рисунке изображена половина скрученного сектора. Обозначим:
 φ – угол сектора
 ω – угол скручивания
 h – половина высоты цилиндра
 a – радиус скрученного сектора при $z = 0$
 r – радиус скрученного сектора при $z = h$ (радиус исходного цилиндра)
- Объем данной фигуры (сравните с объемом однополостного гиперболоида):

$$V = \frac{\varphi h}{6} (2a^2 + r^2)$$



- Площадь внешней поверхности (сравните с площадью поверхности однополостного гиперболоида):

$$S = \varphi a \left(h\sqrt{1 + k^2 h^2} + \frac{1}{k} \sinh^{-1}(kh) \right), \text{ где } k = \frac{\sqrt{a^2 + c^2}}{c^2}, c^2 = \frac{a^2 h^2}{r^2 - a^2}$$

- Площадь боковых граней (гиперболический параболоид):

$$S = \frac{ah}{3pq} \left(pqf + \frac{p(p^3+3)}{2} \operatorname{arth} \left(\frac{q}{f} \right) + \frac{q(q^3+3)}{2} \operatorname{arth} \left(\frac{p}{f} \right) + \operatorname{arctg} \left(\frac{f}{pq} \right) - \frac{\pi}{2} \right),$$

$$\text{где } p = \frac{r \sin \omega}{h}, q = \frac{r \sin \omega}{a}, f = \sqrt{p^2 + q^2 + 1}$$